

Normal 型の Torus Fibration について

東大 理 松本 幸夫

(Yukio Matsumoto)

§1. はじめに. 我々は先に、複素構造曲面の位相的類似物として、Torus Fibration を定義し、極く一般的な性質を調べた. ([Mt 1], [Mt 2]) たとえば、1, 3 handle のない handle 分解を持つような 4 次元閉多様体は 2 次元球面上の Torus Fibration になることなどを示した。この稿では対象をやや制限し、Normal 型の Torus Fibration について考察を進めることにする。すなむち、特異ファイバーとして normal crossing のみを持つものについて考えるのである。目標は次の問題である。

問題: Normal 型の Torus Fibration を、(必ずしも fiber を保たない) degree + 1 diffeomorphism によって分類せよ。

この問題が解決されれば、次の諸定理の一般化が得られるはずである。

定理. (Kas-Moishezon) [Ka], [Mz]. V_1, V_2 を S^2 上の
一橋内曲面で、multiple fiber を持たず、また、少くとも
ひとつの特異ファイバーを持つようなものとする。各ファイバ
ーは例外曲線を含まないと仮定する。このとき、 V_1 と V_2 が
diffeomorphic のための必要十分条件は $b_2(V_1) = b_2(V_2)$ が成り立つことである。

定理. (Zieschang, [Z]). 曲面上の Torus Fibration で
multiple fiber しか持たないものの同型類は、もしそれが
“十分複雑なら”、基本群によって決定される。

定理. (坂本-福原, [SF]). T^2 上の T^2 バンドルの分類。

このノートでは、残念ながら上の問題の解決には到らない
が、以下、Normal型の Torus Fibration に関する基本的事
実（特異ファイバーの分類、monodromy、ホモロジー球
面、Twin S.f. の変形等）および、特異ファイバーの張り換
え技術について述べる。また、上の問題の部分的解決として
次の2つの定理を証明する。

定理. 6.1. 単連結な Normal 型 T.F. M の交叉形式が正定
符号なら、 M は $\mathbb{C}P_2$ の有限個の連結和に diffeomorphic
である。（multiple fiber は無いものとする。）

定理. 7.1. 特異ファイバーとして I_1^+, I_1^- のみを許す S^2 上

の T.F. M の diffeo. class は、符号数 $\sigma(M) \neq 0$ のとき、 $\sigma(M)$ とオイラー数 $e(M)$ で分類できる。（特異ファイバーの記号 I_1^{\pm} については §2 参照）

後の定理は前述の Kas-Moishezon の定理の（実はさぞやかな）一般化である。

Normal型 Torus Fibration の定義を述べて §1 を終る。

定義. M, B をそれぞれ smooth, oriented 4-多様体とする。
 $\partial M = \phi = \partial B$ と仮定する。smooth map

$$f : M \rightarrow B \quad (\text{proper, onto})$$

が Normal 型 Torus Fibration (略して NTF.) とは。
 M の各点において f の germ が、 \mathbb{C}^2 の原点における $z_1^p z_2^q$ 又は $\bar{z}_1^p z_2^q : \mathbb{C}^2 \rightarrow \mathbb{C}$ の germ に (向きをこめ) 同値であり、かつ、 f の一般ファイバーが 2 次元トーラスに微分同相であることを言う。（ $z_1^p z_2^q$ 又は $\bar{z}_1^p z_2^q$ における p, q は、 $p \geq 0, q \geq 0, p+q \geq 1$ であるような整数。 $\gcd(p, q) = 1$ は仮定しない。）
 $\partial M \neq \phi, \partial B \neq \phi$ の場合、proper onto な smooth map $f : M \rightarrow B$ が NTF. であるとは、 $f|_{\text{Int}(M)} : \text{Int}(M) \rightarrow \text{Int}(B)$ が上述の意味で NTF. であり、かつ、 ∂B の適当な collar C の上で $f|_{f^{-1}(C)} : f^{-1}(C) \rightarrow C$ が T^2 -バンドルになつてゐるものとを言う。

§2. 特異ファイバーの分類. $f: M \rightarrow B$ を NTF として
 $F_x = f^{-1}(x) (x \in B)$ をひとつのファイバーとする. $D_\varepsilon(x)$
 で, x を中心とし半径 $\varepsilon > 0$ であるような B の円板を表す.
 制限 $f|f^{-1}(D_\varepsilon(x)): f^{-1}(D_\varepsilon(x)) \rightarrow D_\varepsilon(x)$ が円板上の T^2 -バ
 ンドルのとき, F_x を一般ファイバーとよび, 然らざるとき,
 特異ファイバーとよぶ.

明らかに, ($\varepsilon > 0$ が小なら) $f^{-1}(D_\varepsilon(x))$ は F_x を変形レトラ
 クトとして持つ. また F_x は smooth に埋め込まれた 2 次元球
 面 S^2 又はトーラス T^2 の和集合である. ([M+2] 参照). こ
 れ等の S^2 又は T^2 を F_x の既約成分とよぶ. 一律に $\mathbb{H}_1, \dots, \mathbb{H}_s$ と
 表わす. $\mathbb{H}_i, \mathbb{H}_j (i \neq j)$ が交わる時は有限個の点で trans-
 verse に交わる. M, B が oriented であることから, 各 \mathbb{H}_i
 には自然に向きが定まり, $H_2(f^{-1}(D_\varepsilon(x)); \mathbb{Z})$ の元 $[\mathbb{H}_i]$ を
 unique に定める. $f^{-1}(D_\varepsilon(x))$ に含まれる一般ファイバー
 の定めるホモロジー類 $[T^2]$ を $[T^2] = \sum_{i=1}^s m_i [\mathbb{H}_i]$ と表わ
 したとき, 係数 ($m_i \geq 1$) を multiplicity とよぶ.

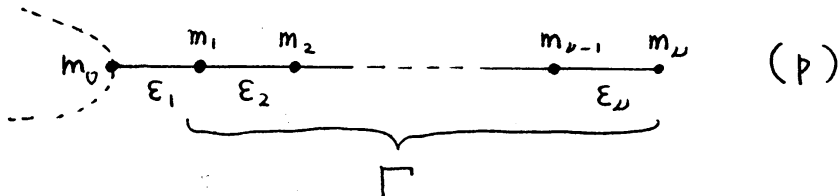
$f^{-1}(D_\varepsilon(x))$ は $\bigcup_{i=1}^s \mathbb{H}_i$ を心棒にする plumbing である.
 この manifold としての構造は、plumbing diagram であり,
 各 $P \in \mathbb{H}_i \cap \mathbb{H}_j$ における交わりの符号 $\varepsilon = \pm 1$ を指定すれば決まる. 更に Torus Fibration $f|f^{-1}(D_\varepsilon(x)): f^{-1}(D_\varepsilon(x))$
 $\longrightarrow D_\varepsilon(x)$ の構造は、各 \mathbb{H}_i の multiplicity m_i を指定する.

ことにより定まる。以下特異ファイバーを weighted graph で表わすが、頂点は S^2 を表わし、2 頂点 \vee 本の辺 \backslash が結ばれているとき、対応する S^2 は n 個の点で transverse に交わるとのと約束する。(大抵は $n=0$ or 1) 辺上の符号は交わりの符号、頂点の weight は multiplicity m_i (≥ 1) である。(頂点の weight は self-intersection number ではない。!)

注意 2.1. multiplicity m_0 を持つ既約成分 Θ_0 が、他の既約成分 $\Theta_1, \dots, \Theta_t$ と（しかも、これらは既約成分とだけ）1 点で transverse に交わっていふとする。 Θ_i の multiplicity を m_i 、 $\Theta_0 \cdot \Theta_i = \varepsilon_i$ ($= \pm 1$) とする。このとき self-intersection $\Theta_0 \cdot \Theta_0 = -(\sum_{i=1}^t \varepsilon_i m_i) / m_0$ である。

(証明) 一般ファイバーと特異ファイバーは交わらないから、
 $0 = [T^2] \cdot [\Theta_0] = m_0 \Theta_0 \cdot \Theta_0 + \sum_{i=1}^t m_i (\Theta_i \cdot \Theta_0)$. Q.E.D.

Weighted graph 中の線形枝 Γ を考える：



線形枝における ε_i は、 $\gcd(m_0, m_1) = \gcd(m_1, m_2) = \dots = \gcd(m_{n-1}, m_n) = m_n$ が成り立つ。上図の右端のカッコ中

の数 p は $p = m_o/m_\nu$ で与えられる整数である。 $p = 1$ であるような線形枝を除き得る線形枝 (RLB) と言う。

補題 1.2. RLB の正則近傍の境界は S^3 である。

(略証) それは明らかに lens 空間であるから, $H_1 = 0$ を示すえすればよい。 $p = 1$ (i.e. $m_o = m_\nu$) の条件を用いて、当該線形枝の intersection form が unimodular なことがわかる。Q.E.D.

Neumann - Weintraub により、RLB を除いて 4 次元円板 D^4 で貼り替えて得られる mfd M' は、貼り替え前の mfd M と、 $M = M' \# S^2 \times S^2 \# \cdots \# S^2 \times S^2$ 又は $M = M' \# \pm \mathbb{C}P_2 \# \cdots \# \pm \mathbb{C}P_2$ のような関係にある。([NW]) また RLB 附近の Fibration の構造を考察することにより、 M' と M と共通の底空間 B 上の NTF があり、特異ファイバーを表す weighted graph は、除いた RLB の分しか異ならないことがわかる。従って、全体の微分同相類を問題にする限り、RLB を含まない NTF のみを考えれば十分である。

定理 1.3. RLB を含まない Normal 型の特異ファイバーは以下の 6 クラスに分類される。(線形枝の端のカッコ内の数

は上述の P -数である)

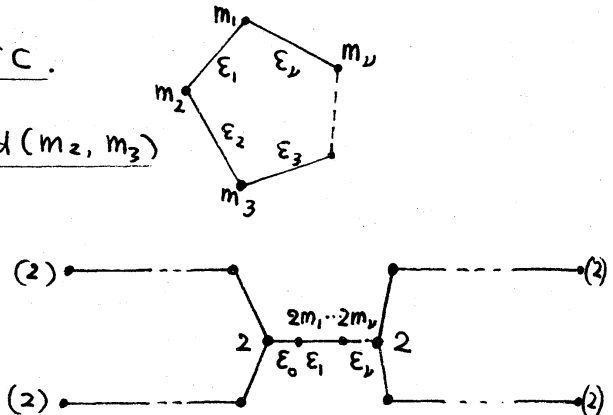
(i) mI_0 型: (multiple torus) Seifert 型の fibered $nbd \times S^1$ に同値である. (M.C. Thornton [Th].)

(ii) \tilde{A} 型: グラフは cyclic.

条件として $\gcd(m_1, m_2) = \gcd(m_2, m_3) = \dots = \gcd(m_\nu, m_1)$. カつ

$m_i | \varepsilon_{i-1}m_{i-1} + \varepsilon_im_{i+1}$.

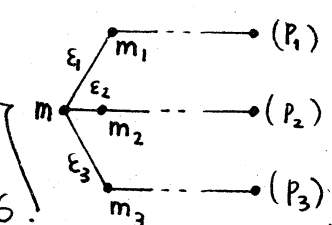
(iii) \tilde{D} 型: グラフは右図.



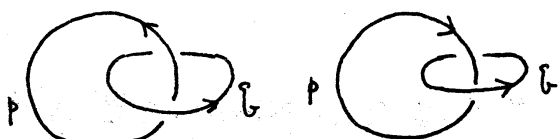
(iv) \tilde{E}_6 型: $m=3, P_1=P_2=P_3=3$.

(v) \tilde{E}_7 型: $m=4, P_1=2, P_2=P_3=4$.

(vi) \tilde{E}_8 型: $m=6, P_1=2, P_2=3, P_3=6$.



(略証) これら等の graph の分類は基本的には Scharf [Sch] あるいは Neumann [N] によりなされている。この特異ファイバーのまわりの Torus Fibration の様子は、より詳しい幾何的考察による。すなわち、既約成分の交点付近では、射影 $f: M \rightarrow B$ の germ は $z_1^p z_2^q$ 又は $\bar{z}_1^p z_2^q: \mathbb{C}^2 \rightarrow \mathbb{C}$ の原点における germ に同値。よって Torus Fibration は、ここでは local に ‘multiple (\pm) Hopf link’ (下図) の cone の形である。



‘multiple fibered link’ とし、この link の fiber は。

$\gcd(p, q)$ 個の annulus からなる。また monodromy もわかる。上述のグラフに沿ってこれ等の annuli をつなげて行き。Torus Fibration が構成される。□

定義 特異ファイバー $F = \sum_{i=1}^s m_i (\oplus_i)$ において、 $\gcd(m_1, m_2, \dots, m_s) > 1$ であるとき、 F を multiple fiber とする。

multiple fiber になり得るのは mI_0 型、 \tilde{A} 型の 2 つに限る。(i.e. 単連結でないもの。) 小平先生のホモトピー-K3 曲面の問題のように、multiple fiber の現れる場合のトポロジーは難しそうである。

注意 \tilde{A} 型において、 $\nu = 1$ の場合は、1 個の transverse self-intersection point を持つ immersed S^2 である。更に $m_i = 1$ のとき $\varepsilon_i = +1$ 又は -1 に応じて、その特異ファイバーを I_1^+ 又は I_1^- で表す。このまわりの monodromy

$$I_1^+ = \begin{array}{c} \text{8} \\ \leftarrow S^2 \end{array} \quad I_1^- = \begin{array}{c} \text{8} \\ \leftarrow S^2 \end{array}$$

は $\varepsilon_i = +1, -1$ に応じてそれぞれ $\begin{bmatrix} 1 & 1 \\ 0 & 1 \end{bmatrix}, \begin{bmatrix} 1 & -1 \\ 0 & 1 \end{bmatrix}$ である。

注意 交叉の符号 ε が全て $+1$ の場合、上記特異ファイバーは Kodaira 型又はその blown up に一致する: $\tilde{A} \rightarrow I_b$, $\tilde{D} \rightarrow I_b^*$, $\tilde{E}_6 \rightarrow \{\text{IV}, \text{IV}^*\}$, $\tilde{E}_7 \rightarrow \{\text{III}, \text{III}^*\}$, $\tilde{E}_8 \rightarrow \{\text{II}, \text{II}^*\}$.

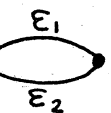
§3. monodromy. 前節で分類した特異ファイバーのまわりの monodromy について述べる. $\mu, \lambda \in H_1(T^2; \mathbb{Z})$ を, $\mu \cdot \lambda = +1$ であるような適当な basis とし, それに関する matrix により表示する: $(h(\mu), h(\lambda)) = (\mu, \lambda) \begin{bmatrix} a & b \\ c & d \end{bmatrix}$. (下の定理中の m_i, ε_i の意味については定理 2.3 の図参照.)

定理 3.1. (i) $m_0 I_0$ 型の monodromy は trivial.

(ii) \widetilde{A} 型の monodromy は $\begin{bmatrix} 1 & b \\ 0 & 1 \end{bmatrix}$. ここに $b = (\varepsilon_1/m_1 m_2) + \dots + (\varepsilon_\nu/m_\nu m_1)$. (iii) \widetilde{D} 型は $\begin{bmatrix} -1 & -b \\ 0 & -1 \end{bmatrix}$. ここに $b = (\varepsilon_0/m_1) + (\varepsilon_1/m_1 m_2) + \dots + (\varepsilon_{\nu-1}/m_{\nu-1} m_\nu) + (\varepsilon_\nu/m_\nu)$. (iv) \widetilde{E}_6 型. $\varepsilon_3 m_3 \equiv -1 \pmod{3}$ 又は $\varepsilon_3 m_3 \equiv 1 \pmod{3}$ に応じて $\begin{bmatrix} -1 & -1 \\ 1 & 0 \end{bmatrix}$ 又は $\begin{bmatrix} 0 & 1 \\ -1 & -1 \end{bmatrix}$. (v) \widetilde{E}_7 型. $\varepsilon_3 m_3 \equiv -1 \pmod{4}$, $\varepsilon_3 m_3 \equiv 1 \pmod{4}$ に応じて, $\begin{bmatrix} 0 & -1 \\ 1 & 0 \end{bmatrix}$ 又は $\begin{bmatrix} 0 & 1 \\ -1 & 0 \end{bmatrix}$. (vi) \widetilde{E}_8 型. $\varepsilon_3 m_3 \equiv -1 \pmod{6}$, $\varepsilon_3 m_3 \equiv 1 \pmod{6}$ に応じて $\begin{bmatrix} 0 & -1 \\ 1 & 1 \end{bmatrix}$ 又は $\begin{bmatrix} 1 & 1 \\ -1 & 0 \end{bmatrix}$.

§4. ホモロジー 4 球面. §1 で述べた問題の非常に特別の場合として次の定理を証明する.

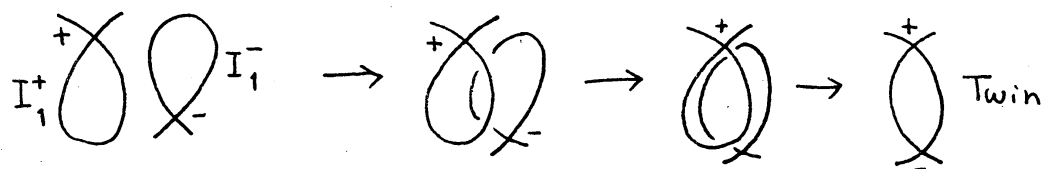
定理 4.1. $f: M \rightarrow B$ を, multiple fiber を含まない NTF とする. そのとき, M がホモロジー 4 球面であれば, M は S^4 に diffeomorphic である.

(証明) $H_*(M; \mathbb{Z}) \cong H_*(S^4; \mathbb{Z})$ と仮定する. もし M が RLB を含めば " $M = M' \# S^2 \times S^2 \# \dots$ 又は $M = M' \# \pm CP_2 \# \dots$ " であるから (cf. §2), M はホモロジ-4球面になり得ない. 従がって M の特異ファイバーは定理2.3のそれと一致する. M の euler 数 $e(M) = 2$ は、特異ファイバーの euler 数の和である. 定理2.3の中から $\text{euler} \# \leq 2$ のものを探すと、 M の特異ファイバーとして可能なものは、 $m_1 \circlearrowleft \begin{matrix} \varepsilon_1 \\ \varepsilon_2 \end{matrix} m_2$ ある.  1 $\bullet \circlearrowleft \varepsilon_1 \cup 1 \circlearrowleft \varepsilon_2$ の2種類である.

前者の場合. m_1 -頂点の self-int. number は注意2.1により $-(\varepsilon_1 m_2 + \varepsilon_2 m_2)/m_1$. 一方 $H_2(M; \mathbb{Z}) = 0$ であるからこの数は0に等しく、結局 $\varepsilon_1 = -\varepsilon_2$ である. そして、multiple fiber でないから、 $\gcd(m_1, m_2) = 1$. この fiber の正則近傍 N は Montesinos' Twin $[M_0]$ に他ならない. 定理3.1により monodromy は自明である. よって $M = N \cup \tilde{T} \times D^2$ と分解される. $[M_0]$ Cor. 5.6] と同様の議論によると、 $M \cong S^4$ が示される. ($S^4 = N \cup T^2 \times D^2$ に現われる attaching diffeo. と N の分解に現われる attaching の差 $\partial N \rightarrow \partial N$ が、 N の diffeo. に拡張可能な事を示すのである.)

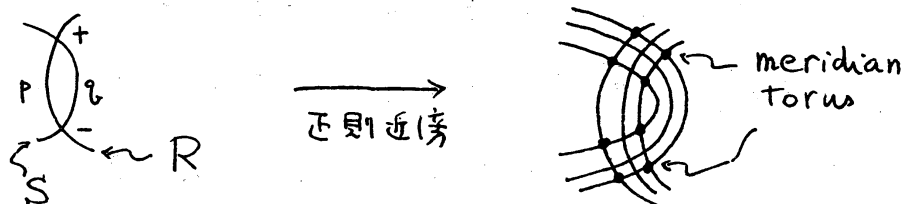
後者の場合. 前者の場合もそうであるが、 $H_1(M; \mathbb{Z}) = 0$ であるから $B = S^2$ でなくてはならない. 2つの特異ファイバー $-I_1^{\varepsilon_1}, I_1^{\varepsilon_2}$ の singular loci は S^3 の北半球 D_+^2 に属する

と仮定してよい。南半球 D^2_- では自明な T^2 -バンドルだから ∂D^2_+ をまわる monodromy は自明である。 $SL(2, \mathbb{Z})$ の abelian 化 $\cong \mathbb{Z}/12$ であること、及び $\begin{bmatrix} 1 & 1 \\ 0 & 1 \end{bmatrix}$ が $\mathbb{Z}/12$ の生成元になる事を考えあわせると、 $\varepsilon_1 = -\varepsilon_2$ でなく ε_1 はならない。すなはち特異ファイバーは I_1^+ と I_1^- とから成る。この両方を 11 ペんに回る monodromy が自明なことから、両者の位置関係は下図のようになつてゐる。“Deformation”によ



り互いの距離を接近させて行くと、遂に両者は重なり合つて 1 本の Twin になる。(上図)。従がつて議論は前者の場合に帰着された。Q.E.D.

§5. 特異ファイバーの貼り替え。はじめに Twin の貼り替えを考えよう。Twin は \tilde{A} 型の特別な場合で、その一般型は下図のように P, Q により表わされる。multiplicity $p(\text{or } q)$

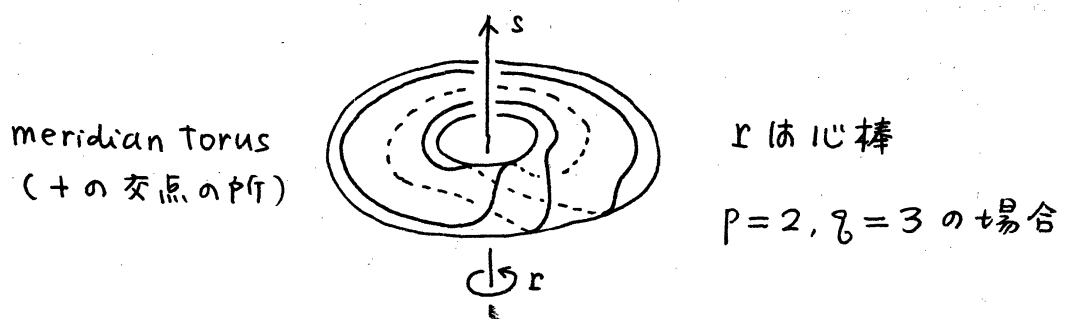


を持つ 2-sphere Σ と R (or S) と書く。正則近傍は $R \times D^2 \cup D^2 \times S$

の形の plumbing である. $x \times \partial D^2$ ($x \in R$) 又は $\partial D^2 \times y$ ($y \in S$) をそれ自身 R 又は S の meridian とよび, r , s で表わす. 2交点 $R \cap S$ のまわりに, meridian torus がひとつずつあり, その H_1 の生成元は r, s である. meridian torus を τ, τ' で表わす.

正則近傍は D^2 上の NTF であり. その境界は S^1 上の T^2 -バンドルである. 定理3.1によれば, monodromy は p, q に依らず自明である. よって, 与えられた Twin singular fiber をひきぬいて, 他の multiplicity (例えば m, n) を持つ Twin singular fiber で置きかえる操作を考えられる. この操作で, Torus Fibration の構造は変るか, 全体の diffeomorphism class は, どう変るか (又は変わらないか) が問題である. (なお, $\gcd(p, q) = \gcd(m, n) = 1$ を仮定する.) multiplicity (p, q) 又は (m, n) を持つ Twin の正則近傍を $N(p, q)$ 又は $N(m, n)$ で表す. Fiber preserving diffeo. $\varphi: \partial N(p, q) \rightarrow \partial N(m, n)$ を次のよう構成する.

まず次の事に注意しよう. 自明な T^2 -bundle $\partial N(p, q) \rightarrow S^1$ の任意の fiber T^2 と, $\partial N(p, q)$ 内の meridian Torus τ とは transverse に交わり, その交線はて上の torus knot である. (次頁上図). また, その torus knot の type は, $K(p, -q)$ である. (あなたがち, left-handed !)



このことは次のようにしてめかる。+の交点のまわりで、
local に複素座標 z_1, z_2 を入れ、 $z_1 = 0$ が R に、 $z_2 = 0$ が S
に対応していふとする。Torus Fibration $N(p, q) \rightarrow D^2$ の
germ は $z_1^p z_2^q = 0$ である。meridian torus は、半径 ε
の球面 $|z_1|^2 + |z_2|^2 = \varepsilon^2$ と $|z_1| = |z_2|$ の共通部分に同一視さ
れる。すなへて、 $\mathbb{P}^1 \times -\Theta, \Psi$ ($0 \leq \Theta, \Psi \leq 2\pi$) を用い
て、 $\tau : z_1 = (\varepsilon/\sqrt{2}) e^{\sqrt{-1}\Theta}, z_2 = (\varepsilon/\sqrt{2}) e^{\sqrt{-1}\Psi}$ と表わさ
れ。 τ と fiber T^2 の交線は、 τ 上で $z_1^p z_2^q > 0$ なる式で
表わされると考えらる。實際

$$z_1^p z_2^q = (\varepsilon/\sqrt{2})^p (\varepsilon/\sqrt{2})^q e^{\sqrt{-1}(p\Theta + q\Psi)} > 0$$

を解くと $p\Theta + q\Psi = 0$ を得る。これは $K(p, -q)$ に他なら
ない。

同様に - の箇所の meridian torus τ' 上では、fiber T^2 は
right handed torus knot $K(p, q)$ になり、 $\tau \times [0, 1]$ と
 $\tau' \times [0, 1]$ の境界を ori. rev. は different 同一視したもの（
それが $\partial N(p, q)$ に他ならぬ）の中には fiber T^2 は、

$K(p, -g) \times [0, 1] \cup K(p, g) \times [0, 1]$ として入っていき。以上の考察は $\partial N(m, n)$ についても全く同様である。いま、fiber pres. diffeom. $\varphi : \partial N(p, g) \rightarrow \partial N(m, n)$ がてをてに、 τ' を τ に写し、しかもその中の $K(p, -g)$ を τ の中の $K(m, -n)$ に写していき admissible と呼ぶ。

補題 5.1. (必ずしも fiber pres. ではない) diffeomorph.
 $\tilde{\varphi} : N(p, g) \rightarrow N(m, n)$ に拡張するような admissible diffeomorphism $\varphi : \partial N(p, g) \rightarrow \partial N(m, n)$ が存在するための必要十分条件は $m+n \equiv p+g \pmod{2}$ である。

(証明) $\partial N(p, g) = T^3 = \partial N(m, n)$ の標準的 basis として、前述の meridians r, s 及び longitude l が与えられる。 l は、meridian tori T, T' 上に 1 回ずつ transverse に交わる loop である。この basis (l, r, s) に関して、 φ は 3×3 行列で表わせる。(φ は任意の admissible diffeom.)

$$(5.1) \quad \begin{bmatrix} \varphi(l) \\ \varphi(r) \\ \varphi(s) \end{bmatrix} = \begin{bmatrix} 1 & * & * \\ 0 & \alpha & \beta \\ 0 & \gamma & \delta \end{bmatrix} \begin{bmatrix} l \\ r \\ s \end{bmatrix}, \quad (\alpha\delta - \beta\gamma = 1)$$

ここで、次の Montesinos の定理 [Mo, Thm 5.3] がある。

定理 5.2 (Montesinos). (5.1) で表わされる diffeom. φ が

ある diffeom. $\tilde{\varphi} : N(p, q) \rightarrow N(m, n)$ に拡張するための
必要十分条件は $\alpha + \beta + \gamma + \delta \equiv 0 \pmod{2}$ である. (た
お, $N(p, q)$ と $N(m, n)$ とは Torus Fib. の構造が違うだけ
で, 両者とも同じ mfd と考えられる. 補題 5.1 に含めさせ
ため. この記号を使, たか, 定理 5.2 の主張の中では, 本質
的でない.)

補題 5.1 の証明を, まず $p = q = 1$ の場合に行う. ての中
の Torus knots $K(1, -1)$, $K(m, -n)$ の表わすホモロジー
類はすべて $r-s$, $nr-ms$ である. (5.1) で表わされる
3 diffeomorphism が admissible のためには, $\varphi(r-s) =$
 $nr-ms$ が必要十分. これを係数で書くと, $\alpha - \gamma = n$,
 $\beta - \delta = -m$ となる. $\alpha\delta - \beta\gamma = 1$ の条件より, $(\gamma+n)\delta$
 $- (\delta-m)\gamma = 1$, すなはち $n\delta + m\gamma = 1$. $\gcd(m, n) = 1$
であるから, このような δ, γ は存在する. このとき, $\alpha +$
 $\beta + \gamma + \delta = (\gamma+n) + (\delta-m) + \gamma + \delta \equiv n+m \pmod{2}$. よ
って, admissible diffeom. が $\tilde{\varphi}$ に拡張する必要十分条件は
定理 5.2 により $n+m \equiv 0$.

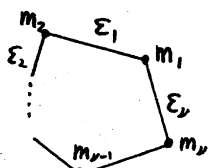
次に $p=1, q=2$ の場合を考える. admissible のための必
要十分条件は $\varphi(2r-s) = nr-ms$. これから $\gamma = 2\alpha - n$,
 $\delta = 2\beta + m$ を得る. また $\det = 1$ の条件より $\alpha m + \beta n = 1$.

以上から $\alpha + \beta + \gamma + \delta \equiv \alpha + \beta + m + n \pmod{2}$ となる。もし m, n ともに odd (従がる $m+n \not\equiv 1+2$) なら, $\det = 1$ の条件より $\alpha + \beta \equiv 1$, より $\alpha + \beta + \gamma + \delta \equiv 1$ となり, 定理 5.2 により, Ψ は $\widetilde{\Psi}$ に拡張しない。もし, m, n の一方が odd, 他方が even (すなはち $m+n \equiv 1+2$) とすると, $\alpha + \beta \equiv 1$ なら拡張するか, α, β ともに odd のときは, $\alpha' = \alpha - n, \beta' = \beta + m$ と取り直すことになり, $\alpha' + \beta' + m + n \equiv 0$ であるから α' は admissible diffeo. が得られ, \checkmark 拡張する。

一般の (p, q) の場合には, $p+q \equiv 0, 1$ に従がる, $(1, 1)$ 又は $(1, 2)$ に写しておいて議論すればよい。Q.E.D.

補題 5.1 によれば、mfд全体の diffeom. class を変る事なく, Twin singular fiber の multiplicity を $(1, 1)$ 又は $(1, 2)$ に変える事ができる。

次に, (multiple fiber でないような) 一般の \widetilde{A} 型特異点をバーを考える。

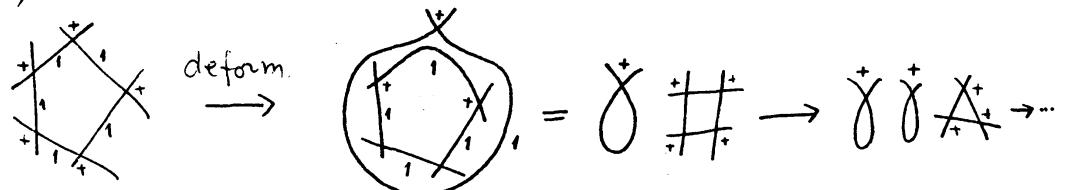


補題 5.3. \widetilde{A} 型ファイバーにおける $\gcd(m_i, m_{i+1}) = 1$ を
する。このとき次の(i), (ii), (iii) のどれか \checkmark ひとつが成り立つ。
(i) self-int. # = 0 の球面を含む。 (ii) self-int. # = ± 1 の
球面を含む。 (iii) $m_1 = m_2 = \dots = m_n = 1$ かつ $\varepsilon_1 = \varepsilon_2 = \dots = \varepsilon_{n-1}$

(補題 5.3 は、笠野 - 洋氏による computer 実験の結果から
きがついた。ここで同氏に感謝します。)

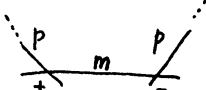
(証明) $\nu \leq 2$ の時は容易であるから、 $\nu \geq 3$ とする。 i 番目
の球面の self-int. # は (注意 2.1 により) $-(\varepsilon_{i-1} m_{i-1} + \varepsilon_i m_{i+1}) / m_i$
に等しい。すべての i につけて $|(\varepsilon_{i-1} m_{i-1} + \varepsilon_i m_{i+1}) / m_i| \geq 2$ のとき、(iii) が成立することを言う。この不等式から、 $m_{i-1} + m_{i+1} \geq 2m_i$ を得る。もし $m_1 = \dots = m_\nu$ なら $\gcd = 1$ す
り、共通の値は 1。よって (iii) がなりたつ。 $(\varepsilon_i$ が変化すれば (i) が成立)。もし $m_1 < m_2$ なら $(m_1 + m_3 \geq 2m_2$ よ
り) $m_2 < m_3$ を得る。同様に $m_2 < m_3$ から $m_3 < m_4$ を
得て、 $m_1 < m_2 < \dots < m_\nu < m_1$ となり矛盾。Q.E.D.

補題 5.3 (ii) の場合は m_f 全体を blow down できる。また (iii) の場合 ($\varepsilon_i = +1, -1$ に従がる \pm Kodaira 型とよぶ)
は、 ν 個の I_i^+ 又は I_i^- に deformation によつて split する
(下図.)

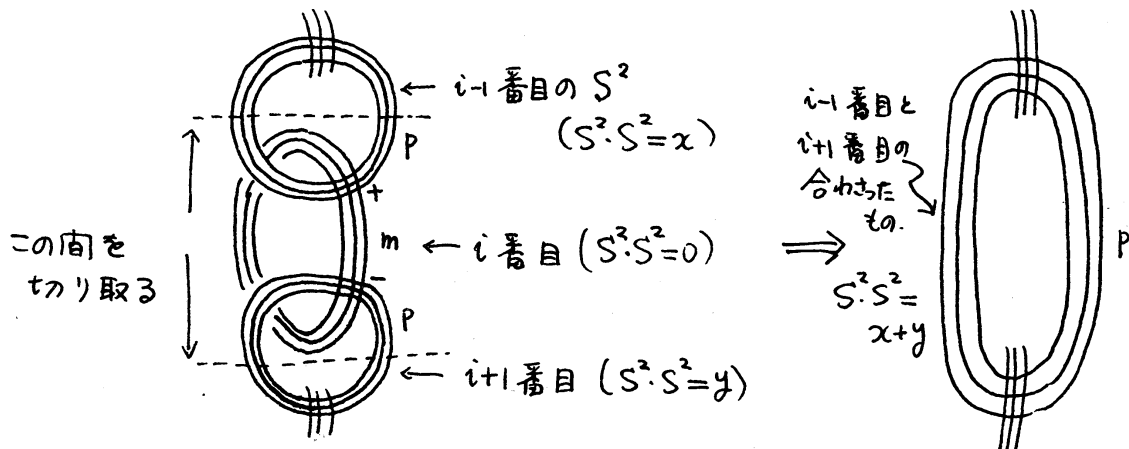


(i) の場合は、以下に述べる貼り替え操作で簡単化できる。

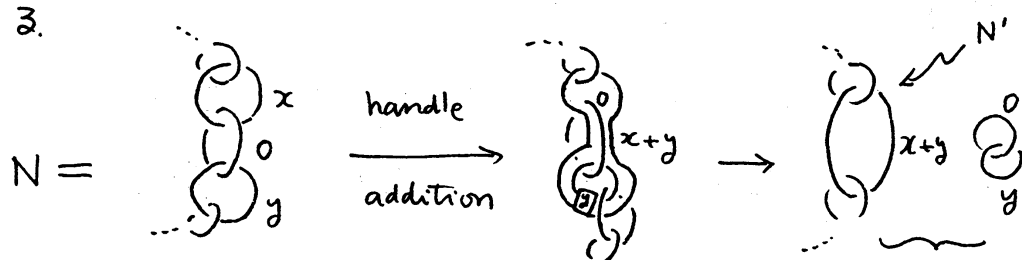
i 番目の S^2 の self-int. = 0 であるとすれば、注意 2.1 の公
式から、 $m_{i-1} = m_{i+1}$, $\varepsilon_{i-1} = -\varepsilon_i$ である。よって、 $m_i = m$,

$m_{i-1} = m_{i+1} = p$ とおけば、  という形をしてい

る。これを  で“貼り替えた”。その様子を詳しく見ると、下図のようである。



上図のようになり取るととき、 $i-1$ 番目の切り口には $(p, -m)$ 型の torus knot が現われ、 $i+1$ 番目の切り口には (p, m) 型の torus knot が現われる。両者を ori. rev. differ で同一視したもののが右図である。この操作により monodromy は不变である。（例えば、定理 3.1 よりわかる。）左及び右の特異ファイバーの正則近傍をそれぞれ N, N' とおくと、mfds として N と N' はどんな関係にあるだろうか。Kirby calculus で調べてみる。下の左は N を表す。これは右図のように変形できる。



従がって、 $i+1$ 番目の S^2 の self-int. = y が even 又は odd に応じて、 $N \cong N' \# S^2 \times S^2$ 又は $N \cong N' \# S^2 \tilde{\times} S^2$ である。

補題 5.1 と 5.3、及びこの貼り替え操作を合わせて、次の命題を得る。（ $S^2 \tilde{\times} S^2 \cong \mathbb{C}P_2 \# \overline{\mathbb{C}P}_2$ に注意）

命題 5.4. \tilde{A} 型 (multiple でないものの) の特異ファイバーを持つ NTF から、適当に $\mathbb{C}P_2$, $\overline{\mathbb{C}P}_2$, $S^2 \times S^2$ を（連結和の逆の操作）取り除くことにより、 \tilde{A} 型 は、 I_1^+, I_1^- , (2,1) Twin の 3種のうちどれか（ひとつとは限らない）としてよい。

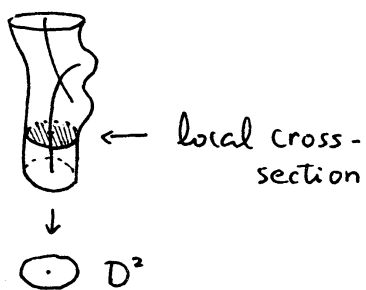
§6. Positive definite intersection forms. 次の定理を示そう。以下 NTF は multiple fiber を持たないと仮定する。

定理 6.1. M は closed ^{connected} 4-mfd で $H_1(M; \mathbb{Z}) = 0$ とする。M が NTF で、M の intersection form が positive definite なら、M は $\mathbb{C}P_2 \# \cdots \# \mathbb{C}P_2$ に diffeomorphic である。

(証明) M から、 $S^2 \times S^2$, $\mathbb{C}P_2$, $\overline{\mathbb{C}P}_2$ 等を取り除くことにより、M の特異ファイバーは RLB を含まないとしてよい。（なお、M は positive def. と仮定したから、この時取り除かれるのは、有限個の $\mathbb{C}P_2$ のみである。）まず次の補題を示す。

補題 6.2. M が positive def. なら、 $\tilde{D}, \tilde{E}_6, \tilde{E}_7, \tilde{E}_8$ 型の特異ファイバーは含まれない。 (M : conn. かつ $H_1(M) = 0$)

(証明) これ等の特異ファイバーはいずれも单連結である。また、(適当な線形枝の端点)として、multiplicity 1 の S^2 を含んでない。よって local cross section がある。 \tilde{A} 型の特



異ファイバー - 1 で local cross-section はある。(2
→ の S^2 の交点のまわりの meridiam torus 上の、ト

-ラス knot の cone. この場合の local cross-section は smooth ではない。) M は、 $H_1(M) = 0$ より、 S^2 上の NTF である。特異ファイバーを除いた所では自明な T^2 -バンドル。よって。
そこには global cross-section がある。従がって特異ファイバーを適当に貼り替えると global cross-section を持つ M' を得る。(この場合の貼り替えは、図のように特異ファイバー自身を変化せるものではなく、単に貼り合わせの fiber pres. diffeom. を変えただけ。) この貼り替えにより、 M' の euler 数と符号数はもとの M と変わらない。 $e(M') = e(M)$, $\sigma(M') = \sigma(M)$. そして、 M が $\tilde{D}, \tilde{E}_6, \tilde{E}_7, \tilde{E}_8$ 型のような单連結の特異ファイバーを含めば、($\pi_1(M')$ の生成元は $\pi_1(T^2)$ から来たから), M' も单連結である。よって $e(M') = e(M)$ か。

$b_2(M') = b_2(M)$ が従がう. M' は global cross-section があり. それによると底空間 S^2 の像を再び S^2 と書けば, fiber T^2 の向に $[S^2] \cdot [T^2] = 1$, $[T^2] \cdot [T^2] = 0$ のようになれる. よって M' は positive def. でない. よって $b_2(M') > |\sigma(M')|$. これから $b_2(M) > |\sigma(M)|$ がわかり, M が posi. def. である事に反する. (よって $\tilde{D} \sim \tilde{E}_8$ 型のファイバーは含まれない). QED.

(定理 6.1 の証明の続き.) M の含む特異ファイバーは \tilde{A} 型のみである. 命題 5.4 により, M から $\mathbb{C}P_2, \overline{\mathbb{C}P}_2, S^2 \times S^2$ 等を取り除くことにより, M の特異ファイバーは I_1^\pm 及び Twin のみであるとしてよい. この際も, M の posi. def. 性より, これら取り除かれるのは実は $\mathbb{C}P_2$ のみである. Harer の index 定理を次のように少し拡張したものを利用する.

定理 6.3. (cf. Harer [H, Thm 3.14]) M は NTF とし, その特異ファイバーは a 本の I_1^+ , b 本の I_1^- , c 本の Twin からなるとする. そのとき M の符号数 $\sigma(M)$ は $\sigma(M) = (2/3)(a - b)$ で与えられる. しかし $a - b \equiv 0 \pmod{12}$ である.

さて, M の euler 数は $e(M) = a + b + 2c$ であり, そ

し, $H_1(M)=0$, M : conn. なら $b_2(M) = a+b+2c-2$ である。
 3. 従がって, M が positive def. なら $a+b+2c-2 = (2/3)(a-b)$ でなければならぬ。この式と $a-b \equiv 0 \pmod{12}$ から, $(a, b, c) = (0, 0, 1)$ or $(1, 1, 0)$ を得る。いずれの場合も, M はホモロジー 4 球面である。定理 4.1 から, $M \cong S^4$ である。有限個の \mathbb{CP}_2 を取り除いて S^4 を得たわけだから, その M は $\cong \mathbb{CP}_2 \# \cdots \# \mathbb{CP}_2$ である。QED.

§7. Kas-Moishezon の定理の拡張 次の定理は初め証明を予える予定だったが、原稿用紙が尽きてしまったので主張を述べるに止めよ。

定理 7.1. 特異ファイバーとして I_1^+, I_1^- のみを許す S^2 上の NTF の diffeomorphism class は, $\sigma(M) \neq 0$ のとき, 符号数 $\sigma(M)$ と euler 数 $e(M)$ で決まる。

証明のポイントは Moishezon の本 [M2] Appendix II にある R. Livne の定理を少し拡張することである。雙向的議論は [M2] pp 180-191 と平行に進む。

§8. 付記. 定理 3.1 より, monodromy の trace ≤ 2 . したがって, $T_r = 2 \Leftrightarrow m_0 I_0 \oplus \tilde{A}$, $T_r = 1 \Leftrightarrow \tilde{E}_8$, $T_r = 0 \Leftrightarrow \tilde{E}_7$, $T_r = -1 \Leftrightarrow \tilde{E}_6$, $T_r = -2 \Leftrightarrow \tilde{D}$.

References

- [H] J. Harer, Pencils of curves on 4-manifolds, Thesis (1979) UCB
- [K] A. Kas, On the deformation types of Regular elliptic surfaces, Complex Analysis and Alg. Geo, Camb U.P. (1977), 107-112.
- [Mt1] Y. Matsumoto, On 4-manifolds fibered by tori, To appear in Proc. Japan Acad (1982)
- [Mt2] Y. Matsumoto, A topological study of 4-dim.T.F., I, (in prep.)
- [Mz] B. Moishezon, Complex Surfaces and Conn. Sum..., Springer LNM [#]603
- [Mo] J.M. Montesinos, On Twins in the four-sphere (to appear)

- [N] W.D. Neumann, A calculus for plumbing ..., Trans. AMS 268, (1981) 299-344
- [NW] W.D. Neumann - S.H. Weintraub, Four-manifolds constructed via plumbing, Math. Ann. 238 (1978), 71-78
- [SF] K. Sakamoto - S. Fukuhara, Classification of T^2 -bundles over T^2 (本講究録)
- [Sch] A. Scharf, Zur Faserung von Graphenmannigfaltigkeiten, Math. Ann. 215, 35-45 (1975).
- [Th] M.C. Thornton, Singularly fibered manifolds, Illinois J. Math. 11, 189-201 (1967)
- [Z] H. Zieschang, On Toric fiberings over surfaces , Math Zametki 5 (1969) = Math. Notes 5 (1965), 341-345.